

The effect of lithological units and the role of hydrothermal fluids on the concentration of elements in groundwater resources of the southeast region of Salmas

Nosrat Aghazadeh^{1*}, Tohid Pashaei Gharagoz², Morteza Derakhshi¹

¹ Assistant Professor, Department of Geology, Urmia Branch, Islamic Azad University, Urmia, Iran

² Former M.Sc. Student, Department of Geology, Urmia Branch, Islamic Azad University, Urmia, Iran

Extended Abstract

Introduction

Hydrogeochemical characteristics provide a lot of information about the origin of water, the influence of host rocks, and dominant hydrochemical processes. In areas related to geothermal resources, chemical interactions between hot water (hydrothermal fluids) and surrounding rocks change the composition of water and enrich elements such as V, Co, Ni, Cu, Zn, As, Se, Al, Ag, Cd, Sb, Cs, Ba, W, Au, Tl, and Pb are included in their composition. The presence of hydrothermal sources and different rock units (and especially metamorphism) in the southeastern region of Salmas has caused water sources, especially spring water, to have different chemical compositions. Considering that in the studied area, a major part of water consumption for agriculture and sometimes for drinking is provided through underground water sources, especially from springs in the area. Field surveys, as well as previous studies in the region, indicate the contamination of water and soil resources in the region and negative and dangerous consequences on aquatic ecology, the quality of agricultural products, and health residents of the region. This study aims to investigate the effect of different rock units and the role of hydrothermal fluids on increasing the concentrations of elements in groundwater resources of the southeast region of Salmas. For this purpose, selected groundwater sources were sampled and the effects of lithology and hydrothermal fluids have been investigated based on the results of chemical analysis of the samples.

Materials and Methods

The study area is located in West Azerbaijan Province, about 20 km southeast of Salmas City and 55 km north of Urmia City, it is considered a part of the catchment area of Urmia Lake. This study, to investigate the characteristics of springs in the region, as well as investigate the condition of surface water and the effect of rock units on their quality, from the number of five samples of springs (including the springs of Sharif Abad village, Isti-So hot spring, Zindasht, Kani Sefid, Shourgol), one sample from a well (Bardian village well) and two samples from surface water located in springs drainage channels (including a complete breakdown sample from the west channel of Abgarm village and a sample from the channel north of Abgarm village only for boron element), sampling was done in August 2017. The EC, T, and pH parameters were measured by a WTW portable device in the field. For chemical analysis of samples and determination of anions and cations by titration methods (to determine Ca, HCO₃, Cl), film photometer (for Na, K elements), spectrophotometry (for SO₄) and also calculation based on Other ions (for Mg, TDS) were carried out in the laboratory of the Municipal Water and Wastewater Company of West Azerbaijan Province. Also, the ICP-MS method has been used to determine the concentration of other elements and heavy elements, and this analysis was done in the laboratory of Zarazma Company.

Results and Discussion

The dominant source of water in samples Q1, Q3, Q4, Q5, Q6, and Q7 were influenced by carbonate rock units. Hydrochemical studies show that groundwater resources of the study area are mainly Ca-HCO₃ and Na-HCO₃ in type. The concentration of As and B in some samples reaches 6320 µg l⁻¹ and 644 mg l⁻¹, respectively. The result of the study shows that metamorphic rocks of the region due to the release of boron element from their tourmaline and mica minerals have influenced the concentration of boron in the involved water resources. Moreover, in places such as the Istisu hot spring due to the presence of hot magmatic bodies in depths, there is high potential for some elements to enter the water resources. The high concentration of some indicator elements such as As, W, B, and Cl, which have led to extensive contamination in the hot springs and surface waters of the region, can be related to their separation from the magmatic and hydrothermal systems. The results of chemical analysis of collected water samples show that the concentrations and changes of As, Cs, K, Li, Na, Nb, Rb, S, Se, Si, Sr, Ta, Th, and W elements in the water composition of the cold water samples were not high and as a result, we can consider the



role and very little potential for the entry of these elements through the rock units of the region, which are mainly metamorphic.

Conclusion

The results showed that the predominant type of underground water in the study area is calcium bicarbonate and in the spa spring, it is sodium bicarbonate, and the concentration of some elements such as As, and B is very high compared to normal water and more than the maximum. The recommended permissible amount is in the drinking water standard. Hydrogeochemical investigations show that high HCO₃ and Ca are due to the interaction between water-rock and ion exchange, and due to the release of boron from the structure of tourmaline and mica minerals in the composition of schist metamorphic rocks. Amphibolite and especially gneiss, its concentration has increased in the waters of the region. In the spa springs of the region with Na-HCO₃ type with high sodium concentration, due to the absence of evaporite rocks, the origin of Na ions cannot be caused only by the influence of the rock units of the region. The high values of elements As, B, Cs, K, Li, Na, Nb, Rb, S, Se, Si, Sr, Ta, Th, and W and the results of investigating the correlation between these elements in the underground water resources of the region and also the concentrations Above mentioned elements in Isti-So hot spring shows that the rock units of the region alone do not have enough potential and ability to create anomalies in the amounts of these elements in underground water sources.

Keywords: Groundwater resources, Hydrothermal fluids, Lithological units, Salmas, Spring

Article Type: Research Article

Acknowledgment

This research was supported by the Water and Sewerage Company of West Azerbaijan Province, based on which, appreciation and thanks are given to the respected officials of this company, especially for the efforts of Mrs. Dr. Hajilari, the respected director of the Water and Sewerage Quality and Sanitation Control Office.

Conflicts of interest

The authors of this article declared no conflict of interest regarding the authorship or publication of this article.

Data availability statement

We have no permission to release data and codes.

Authors' contribution

Nosrat Aghazadeh: Writing-original draft preparation, manuscript editing; **Tohid Pashaei Gharagoz:** Resources, Software, Formal analysis and investigation; **Morteza Derakhshi:** Visualization, Supervision, Conceptualization, methodology.

*Corresponding Author, E-mail: nosrataghazadeh@yahoo.com

Citation: Aghazadeh, N., Pashaei Gharagoz, T., & Derakhshi, M. (2024). The effect of lithological units and the role of hydrothermal fluids on the concentration of elements in groundwater resources of the southeast region of Salmas. *Water and Soil Management and Modeling*, 4(4), 239-254.

DOI: 10.22098/mmws.2024.13944.1374

Received: 01 November 2023, Received in revised form: 09 December 2023, Accepted: 03 January 2024., Published online: 03 January 2024

Water and Soil Management and Modeling, Year 2024, Vol. 4, No.4, pp. 239-254





مدل‌سازی و مدیریت آب و خاک

شایعه الکترونیکی: ۲۵۶-۲۷۸۳



تأثیر واحدهای سنگی و نقش سیالات گرمابی بر غلظت عناصر در منابع آب زیرزمینی منطقه جنوب‌شرق سلماس

نصرت آفازاده^{۱*}، توحید پاشائی قراگوز^۲، مرتضی درخشی^۱

^۱ استادیار، گروه زمین‌شناسی، واحد ارومیه، دانشگاه آزاد اسلامی، ارومیه، ایران

^۲ دانش آموخته کارشناسی ارشد، گروه زمین‌شناسی، واحد ارومیه، دانشگاه آزاد اسلامی، ارومیه، ایران

چکیده

ویژگی‌های هیدرورژئوژیمیایی اطلاعات زیادی در خصوص منشأ آب، تأثیر سنگ‌های دربرگیرنده، فرآیندهای هیدرورژئوژیمیایی غالب و غیره ارائه می‌دهد. هدف از این مطالعه بررسی تأثیر واحدهای سنگی مختلف و نقش سیالات گرمابی بر افزایش غلظت عناصر در منابع آب زیرزمینی منطقه جنوب‌شرق سلماس است. به این منظور از منابع آب زیرزمینی انتخابی نمونه‌برداری انجام شد و بر اساس نتایج حاصل از تجزیه شیمیایی نمونه‌ها به بررسی تأثیر واحدهای سنگی و سیالات گرمابی پرداخته شد. مطالعات هیدرورژئوژیمی نشان داد که منابع آب زیرزمینی منطقه مورد مطالعه عمده‌داری تیپ Ca-HCO₃ و Na-HCO₃ بوده و غلظت برخی از عناصر در ترکیب شیمیایی آن‌ها نسبت به آب‌های معمولی بسیار بالاتر است، بهطوری که غلظت آرسنیک و بور در برخی از نمونه‌ها به ترتیب به ۶۳۲۰ میکروگرم بر لیتر و ۶۴۴ میلی‌گرم بر لیتر می‌رسد. بررسی‌ها نشان می‌دهد که سنگ‌های دگرگونی رخنمون یافته در منطقه (شامل شیست، آمفیولیت و بهخصوص گلایس‌های تومالین دار) به دلیل رهاسازی عنصر بور (B) از کانی‌های تورمالین و میکا بر افزایش غلظت این عنصر در منابع آب درگیر تأثیرگذار بوده‌اند. علاوه بر این، در محل‌هایی نظیر چشممه آبگرم ایستی سو به دلیل حضور توده‌های گرم ماغمایی در اعماق، پتانسیل بسیار بالای برای ورود برخی عناصر به منابع آبی دیده می‌شود. بهطوری که بالا بودن غلظت برخی از عناصر شاخص از قبیل As, B, W, Cl می‌تواند به جدایش آن‌ها از سامانه ماغمایی و گرمابی مرتبط باشد که این امر منجر به ایجاد آلودگی گستره در آب‌های گرم و سطحی منطقه شده است.

واژه‌های کلیدی: چشممه، سلماس، واحدهای سنگی، سیالات گرمابی، منابع آب زیرزمینی

نوع مقاله: پژوهشی

* مسئول مکاتبات، پست الکترونیکی: nosrataghazadeh@yahoo.com

استناد: آفازاده، نصرت، پاشائی قراگوز، توحید، و درخشی، مرتضی (۱۴۰۳). تأثیر واحدهای سنگی و نقش سیالات گرمابی بر غلظت عناصر در منابع آب زیرزمینی منطقه جنوب‌شرق سلماس. *مدل‌سازی و مدیریت آب و خاک*, ۴(۴)، ۲۳۹-۲۵۴.

DOI: 10.22098/mmws.2024.13944.1374

تاریخ دریافت: ۱۴۰۲/۰۸/۱۰، تاریخ بازنگری: ۱۴۰۲/۰۹/۱۸، تاریخ پذیرش: ۱۴۰۲/۱۰/۱۳، تاریخ انتشار: ۱۴۰۲/۱۰/۱۳

مدل‌سازی و مدیریت آب و خاک، سال ۱۴۰۳، دوره ۴، شماره ۴، صفحه ۲۳۹ تا ۲۵۴
ناشر: دانشگاه محقق اردبیلی



۱- مقدمه

منابع آب زیرزمینی و بررسی برهم‌کنش آب و سنگ در افزایش غلظت برخی عناصر در ترکیب منابع آب زیرزمینی منطقه (به خصوص مقادیر بسیار بالای عناصری سمی نظیر آرسنیک و بور در محل چشمeh آبگرم ایستیسو) و نیز بررسی نقش محلول‌های گرمابی وابسته به توده‌های نفوذی جوان آذرین امری ضروری به نظر می‌رسد. هدف از این پژوهش بررسی هیدروژئیمی، و تأثیر برهم‌کنش آب-سنگ و سیالات گرمابی بر غلظت برخی عناصر مهم سنگین و کمیاب در ترکیب منابع آب زیرزمینی منطقه جنوب شرق سلماس و بهویژه چشمeh آبگرم ایستیسو است که برای این منظور به بررسی غلظت آنیون و کاتیون‌های اصلی و عناصری از قبیل Ta , Sr , Si , Se , S , Rb , Nb , Na , Li , K , Cs , B , As , W در ترکیب این آب‌ها پرداخته شده است.

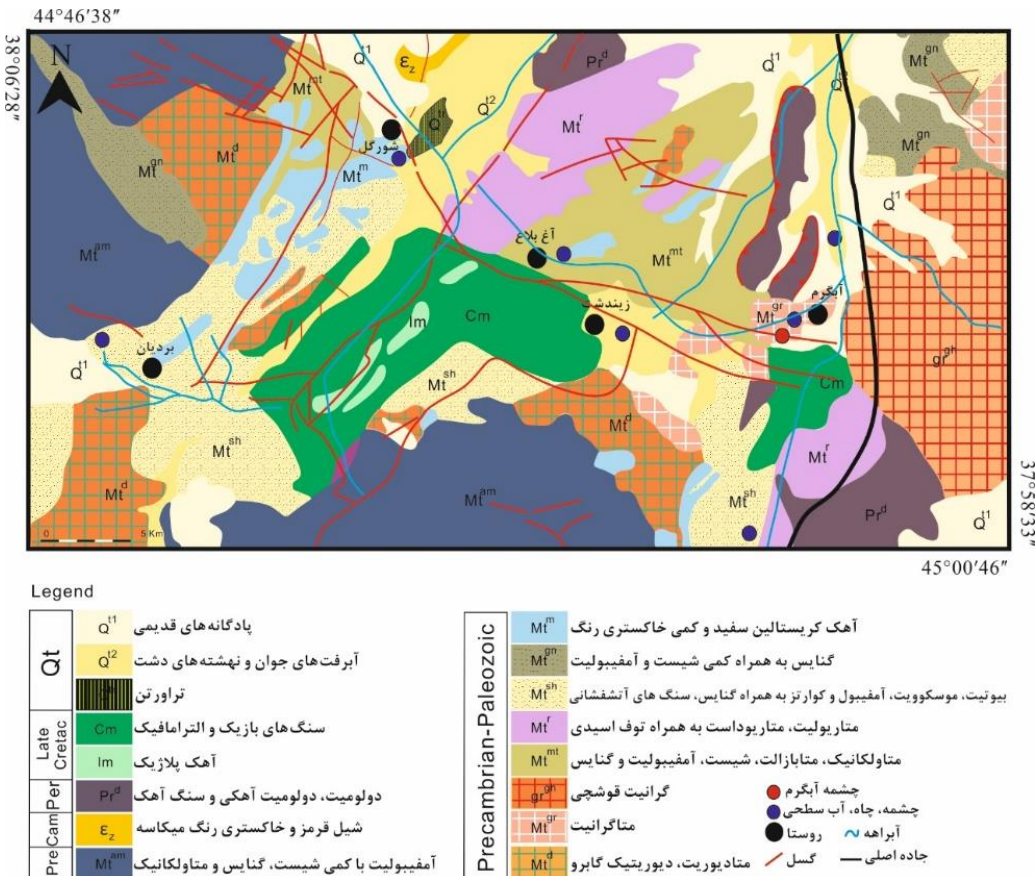
۲- مواد و روش‌ها**۲-۱- موقعیت و زمین شناسی منطقه مورد مطالعه**

منطقه مورد مطالعه در استان آذربایجان غربی در ۲۰ کیلومتری جنوب شرق شهر سلماس و در فاصله ۵۵ کیلومتری شمال شهر ارومیه و بین طول‌های جغرافیایی $۴۶^{\circ}, ۴۶^{\circ}, ۴۴^{\circ}, ۴۴^{\circ}$ تا $۴۰^{\circ}, ۴۰^{\circ}, ۴۵^{\circ}$ شرق و عرض جغرافیایی $۳۷^{\circ}, ۳۷^{\circ}, ۳۸^{\circ}$ تا $۳۸^{\circ}, ۳۸^{\circ}, ۳۷^{\circ}$ شمالی واقع شده و بخشی از حوضه آبریز دریاچه ارومیه محسوب می‌شود. از دیدگاه زمین‌شناسی، منطقه مورد مطالعه با توجه به تقسیمات واحدهای ساختمانی-رسوبی ایران به عنوان بخشی از کمربند دگرگونی و افیولیتی زون سنترج-سیرجان شناخته شده است. در پژوهش این منطقه از زیر عنوان زون خوی-مهاباد و زون البرز-آذربایجان تدقیک شده است (Nabavi 1978). کهن‌ترین سنگ‌های رخمنون یافته در منطقه شامل مجموعه ای از سنگ‌های دگرگونه است که درجه دگرگونی آن‌ها در حد رخساره شیست سبز تا آمفیبولیت و گنایس متغیر است. نهشته‌های متعلق به کامبرین در برگیرنده سازند زاگون است که در بخش شمالی منطقه از گسترش کمی برخوردار است. سنگ‌های کربناته به سن پرمنین نیز با خاصیت قابل توجهی به طور دگر شیب روی واحدهای سنگی قدیمی تر جای گرفته‌اند (شکل ۱). واحدهای افیولیتی موجود در منطقه شامل مجموعه‌ای از سنگ‌های آذرین، رسوبی، و دگرگونی است که زمان درهم‌آمیختگی آن‌ها را باید به کرتاسه پسین تا پالئوسن نسبت داد. سنگ‌های آذرین منطقه شامل مجموعه‌ای از انواع سنگ‌های مافیک تا اسیدی هستند که به شکل نسبتاً وسیعی در منطقه دیده می‌شوند (شکل ۱). در محل ظهور چشمeh، واحدهای سنگی غالب از نوع دگرگونی و عمدتاً شامل شیست، آمفیبولیت و گنایس با سن پرکامبرین هستند که مهم‌ترین و بیشترین حجم واحدهای سنگی رخمنون یافته در منطقه را نیز تشکیل می‌دهند (شکل ۲).

در مناطق مرتبط با منابع زمین گرمابی، تداخلات شیمیایی بین آب های گرم (سیالات گرمابی) و سنگ‌های دربرگیرنده باعث تغییر ترکیب آب‌ها و غنی‌شدن عناصری از قبیل V , Se , As , Zn , Cu , Ni , Co , Pb , Tl , Au , W , Ba , Cs , Sb , Cd , Ag , Al است (German and Von Damm, 2003). در خصوص هیدروژئیمی چشمehها و به خصوص چشمehهای آبگرم مطالعات مختلفی صورت گرفته است که در این مطالعات عمدتاً به تعیین مکانیسم حاکم بر شیمی آب‌ها، شناسایی فرآیندهای هیدروژئیمیایی غالب، بررسی اثرات متقابل آب و سنگ و نیز به تأثیر ترکیبات یونی محلول‌هایی که در سامانه‌های زمین گرمابی یافت می‌شود پرداخته شده است که از آن جمله می‌توان به مطالعات Tonani and Mahon (1970), Ellis and Fournier et al. (1973), White (1970), Giggenbach et al., Fournier (1979), Mahon (1977), Modabberi and Jahromi Yekta (2013), Alacali, Assadpour et al. (2017), Yazdi et al. (2015), Rezaei et al. (2019), Rezaei et al. (2018), Wang et al., Furkan Sener (2019), Ebrahimi et al. (2019), Utagi and Durrast and Ngansom (2022), al. (2021) Purandara (2023) اشاره کرد.

برهم‌کنش بین آب و سنگ^۱ و نیز اختلاط آب‌های زیرزمینی با محلول‌های گرمابی از عوامل مهم تأثیرگذار بر خصوصیات هیدروژئیمیایی چشمehها و به خصوص چشمehهای آبگرم به شمار می‌آیند که در برخی از موارد این تأثیر باعث آلودگی و غیرقابل استفاده شدن این آب‌ها می‌شود (Pashai Karagoz et al., 2017; Hailu and Haftu, 2023). در چشمehهای آبگرم انحلال سنگ‌های دربرگیرنده و دمای آب نقش مهمی در اشباع آب Dutta and Gupta, (2022; Tang et al., 2023) نسبت به کانی‌های مختلف دارد (چشمeh نسبت به کانی‌های مختلف دارد). وجود منابع گرمابی و نیز واحدهای سنگی مختلف (به خصوص دگرگونی) در منطقه جنوب‌شرق سلماس باعث شده که منابع آب و به خصوص آب چشمehها از ترکیب شیمیایی مختلفی برخوردار شوند. نظر به این که در منطقه مورد مطالعه، بخش عمده‌ای از مصارف آب برای کشاورزی و گاهی شرب از طریق منابع آب زیرزمینی و به خصوص از آب چشمehهای منطقه تأمین می‌شود، و از طرفی بررسی‌های صحراوی و نیز مطالعات قبلی (Assadpour et al., 2018; Yazdi et al., 2017) در منطقه حاکی از آلودگی منابع آب و خاک منطقه و پیامدهایی منفی و خطرناک بر بوم‌شناسی آذربایجان، کیفیت محصولات کشاورزی و نیز سلامت ساکنان منطقه دارد؛ لذا مطالعه کیفیت

^۱ Water-rock interaction



شکل ۱- نقشه زمین‌شناسی منطقه مورد مطالعه و نیز موقعیت نمونه‌ها روی آن (Khodabandeh, 2003)

Figure 1- The geological map of the studied area and the location of the samples on it (Khodabandeh, 2003)



شکل ۲- واحدهای سنگی در محل ظهور چشمه‌های منطقه مورد مطالعه

Figure 2- Rock units in the springs of the study area

آباد، آبگرم ایستیسو، زیندشت، کانی سفید، شورگل)، یک نمونه از چاه (چاه روستای بردیان) و دو نمونه از آب‌های سطحی واقع در آبراهه‌های زهکشی چشمه‌ها (شامل یک نمونه تجزیه کامل از آبراهه غرب روستای آبگرم و یک نمونه از آبراهه شمال روستای

۲-۲- روش مطالعه

در این مطالعه بهمنظور بررسی خصوصیات چشمه‌های منطقه و نیز بررسی وضعیت آب‌های سطحی و تأثیر واحد سنگی بر کیفیت آن‌ها از تعداد پنج نمونه از چشمه‌ها (شامل چشمه‌های روستای شریف

ها نشان می‌دهد که در چشمۀ آبگرم ایستی سو غلظت متغیرهای EC، TDS، K، Na، Cl و HCO_3 نسبت به استاندارد آب شرب سازمان بهداشت جهانی (WHO, 2011) بالا بوده و حتی گاهی میزان این متغیرها در ترکیب آب این چشمۀ از مقادیر بسیار قابل توجهی برخوردار است (جدول ۱). بررسی غلظت آنیون و کاتیون‌های موجود در ترکیب آب چشمۀ‌ها و آب چاه منطقه مورد مطالعه نشان می‌دهد که مقدار HCO_3 بین ۲۱۰ تا ۶۷۱۲ میلی‌گرم بر لیتر تعییر می‌نماید (جدول ۱). به طور کلی بیشترین مقادیر HCO_3 در چشمۀ ایستی سو و کمترین آن در چشمۀ روتاستی آغلاغ دیده می‌شود. بی‌کربنات اصلی ترین آنیون در ترکیب چشمۀ‌ها منطقه است. غلظت Cl در اکثر چشمۀ‌ها کمتر از ۹۵ میلی‌گرم بر لیتر بوده و بیشترین آن در چشمۀ ایستی سو با مقدار ۶۰ میلی‌گرم بر لیتر وجود دارد. بررسی مقادیر SO_4 در ترکیب آب چشمۀ‌ها نشان می‌دهد که متوسط مقادیر آن ۲۳ میلی‌گرم بر لیتر بوده و در آبگرم ایستی سو مقدار آن بسیار بیشتر از آب‌های سرد (چشمۀ شریف آباد، زیندشت، آغلاغ، سورگل و چاه روتاستی بردیان) است (جدول ۱). نتایج نشان می‌دهد که در آب‌های سرد منطقه مورد مطالعه مقادیر Mg بین ۱۳/۶ تا ۴۴/۹ میلی‌گرم بر لیتر متغیر است. بیشترین مقدار Mg مربوط به چشمۀ روتاستی سورگل و کمترین آن نیز مربوط به آبراهه غرب روتاستی آبگرم است. با این حال، محتوای Mg در چشمۀ آبگرم ایستی سو پایین‌تر از آب‌های سرد منطقه است (جدول ۱). همچنین، در این مطالعه چشمۀ آبگرم ایستی سو حاوی غلظت‌های بالایی از کاتیون‌های K و Na (به ترتیب با مقادیر ۱۸۷/۷ و ۴۳۶۸ میلی‌گرم بر لیتر) است. در حالی که، آب‌های سرد منطقه دارای مقادیر پایین‌تری (کمتر از ۳۴ میلی‌گرم بر لیتر) از این کاتیون‌ها هستند (جدول ۱). بررسی غلظت Ca در ترکیب متابع آب مورد مطالعه نیز نشان می‌دهد که مقدار آن در محدوده ۴۴/۹ (چشمۀ روتاستی شریف آباد) تا ۱۰۰/۳ میلی‌گرم بر لیتر (چشمۀ روتاستی آغلاغ) تعییر می‌نماید (جدول ۱).

آبگرم فقط برای عنصر بور، در مرداد ماه ۱۳۹۷ نمونه‌برداری صورت گرفت. متغیرهای T، EC و pH توسط دستگاه پرتابل WTW در صحرا اندازه‌گیری شد. بهمنظور نمونه‌برداری از منابع آب انتخابی ابتدا ظروف نمونه‌برداری توسط آب منبع سه بار شست و شو داده شده و سپس نمونه‌ها در ظرف پلی اتیلن ۲۵۰ میلی‌لیتری جمع آوری شد. بهمنظور تجزیه عناصر سنگین در ترکیب آب‌های منطقه، نمونه‌های مجزا تهیه شده و جهت کاهش pH آب به کمتر از ۲، مقدار ۲/۵ میلی‌لیتر اسید نیتریک (HNO_3) به آن‌ها اضافه شد. برای تجزیه شیمیایی نمونه‌ها و تعیین آنیون و کاتیون‌ها از روش های تیتراسیون (برای تعیین Ca، Cl ، HCO_3)، فلیم فتوتمتر (برای عناصر K، Na)، اسپکتروفوتومتری (برای SO_4) و نیز محاسبه بر اساس سایر یون‌ها (Mg) در آزمایشگاه شرکت آب و فاضلاب شهری استان آذربایجان غربی به انجام رسید. همچنین، ICP-MS استفاده شده است که این تجزیه در آزمایشگاه شرکت مطالعاتی و مواد معدنی زرآما انجام شد.

۳- نتایج و بحث

۳-۱- شیمی آب‌ها

۳-۱-۱- آنیون و کاتیون‌های اصلی آب

نتایج حاصل از تجزیه شیمیایی آنیون و کاتیون‌های اصلی آب‌های سطحی و زیرزمینی منطقه مورد مطالعه در جدول ۱ ارائه شده است. منشاء یون‌های اصلی موجود در ترکیب آب زیرزمینی میتواند ناشی از تاثیر انحلال واحدهای سنگی دربرگیرنده باشد (Dehrami and Amiri 2023). نتایج نشان می‌دهد که میزان هدایت الکتریکی آب در چشمۀ آبگرم ایستی سو ۱۷۰/۰ میکرو زیمنس بر سانتی‌متر و در آب‌های سرد منطقه ۴۳۶ تا ۹۱۳ میکرو زیمنس بر سانتی‌متر است. همچنین، مقادیر pH آب در چشمۀ آبگرم ایستی سو ۷/۶۷ و در آب‌های سرد منطقه در محدوده بین ۶/۶۸ تا ۸/۱۷ متفاوت است. بررسی

جدول ۱- نتایج تجزیه شیمیایی آنیون‌ها و کاتیون‌های موجود در منابع آب سطحی و زیرزمینی محدوده مورد مطالعه و نیز حداقل غلظت مجاز آب شرب (WHO, 2011)

Table 1- The results of the chemical analysis of anions and cations in the surface and groundwater sources of the studied area, as well as the maximum permissible errors of drinking water (WHO, 2011)

Cl	SO_4	HCO_3	K	Na	Mg	Ca	pH	TDS	EC	T (°C)	محل نمونه‌برداری	شماره نمونه
95	36.56	284.5	1.2	34.1	26	100.3	7.47	584	913	12.5	چشمۀ شریف‌آباد	Q1
960.8	120.1	6712	187.7	4368	12.15	80.16	7.67	10924	17070	38.3	آبگرم ایستی سو	Q2
9.5	18.46	204	1	14.3	13.6	49.3	8.17	279	436	24.3	آبراهه غرب آبگرم	Q3
3.9	18	258.2	0.8	9	18	62	7.63	289	452	14.4	چشمۀ زیندشت	Q4
8.6	21.63	210.9	0.8	24.6	16	44.9	7.78	279	437	12.2	چشمۀ آغلاغ	Q5
13.2	24.86	445.3	0.8	11.2	44.9	95.2	6.68	520	814	15.5	چشمۀ سورگل	Q6
8.5	13.06	221.5	0.9	34.1	15.5	48	7.16	275	430	12.3	چاه بردیان	Q7
200	500	250	-	200	50	250	6.5-7.5	1000	2000	-	-	WHO

غلظت یون‌ها بر حسب میلی‌گرم بر لیتر، EC بر حسب میکرو زیمنس بر سانتی‌متر، T دما بر حسب سانتی‌گراد

۲۶/۲۵ و ۵۶/۹ میلی گرم بر لیتر) هستند. همچنین، در این مطالعه آبگرم ایستی سو محتوای بالایی از W را تا محدوده ۵۶۰۰ میکرو گرم بر لیتر نشان می دهد. در حالی که، آب های سرد منطقه دارای مقادیر پایین تری از W هستند (جدول ۲). بررسی ها نشان می دهند که غلظت Rb بین ۱/۱ تا ۵۱/۳۵ میکرو گرم بر لیتر تغییر می کند. به طور کلی بیشترین مقادیر Rb در چشمۀ آبگرم ایستی سو و کمترین آن در چاه روتای بر دیان مشاهده می شود. غلظت Si در اکثر چشمۀ ها کمتر از ۱۴/۷ میلی گرم بر لیتر بوده و بیشترین آن در چشمۀ ایستی سو با مقدار ۳۱/۵ میلی گرم بر لیتر وجود دارد. همچنین، در این مطالعه بیشترین غلظت عناصر Ta، Nb و Th مربوط به چشمۀ آبگرم ایستی سو (به ترتیب با مقادیر ۱۰/۱۱، ۰/۶۷ و ۰/۳۸ میکرو گرم بر لیتر) است. در حالی که، آب های سرد از غلظت های پایین تری (کمتر از ۱۰/۰ میکرو گرم بر لیتر) برخوردار هستند. با این حال، آب های سرد منطقه مقادیر کمتری از Sr نشان می دهند. در عوض، چشمۀ های آبگرم (خصوصاً چشمۀ آبگرم ایستی سو)، دارای غلظت بالایی از Sr (۳/۳۴ میلی گرم بر لیتر) است. بررسی مقادیر Se و Cs نیز در ترکیب آب های منطقه نشان می دهد که مقادیر آن ها در آبگرم ایستی سو (به ترتیب با ۳/۳۵ و ۸۹/۵ میکرو گرم بر لیتر) بیشتر از آب های سرد ($< ۲/۹۲$ میلی گرم بر لیتر) است (جدول ۲).

۳-۱-۳- عنصر کمیاب

نتایج حاصل از تجزیۀ شیمیابی عناصر کمیاب در نمونه های آب منطقه جنوب شرق سلاماس در جدول ۲ ارائه شده است. بر اساس این جدول، غلظت ها و تغییرات عناصر As، B، Cs، Li، K، Ta، Sr، Si، Se، S، Rb، Nb سو نسبت به آب های سرد بالا بوده و حتی عموماً غلظت های این عناصر در سطحی بالاتر از WHO (2011) است. به عنوان مثال، بیشترین غلظت B در منطقه مربوط به نمونه Q2 (چشمۀ آبگرم ایستی سو) با مقدار ۶۴۴ میلی گرم بر لیتر است. از سوی دیگر، کمترین میزان بور را آب های سرد با مقادیر کمتر از ۲/۶۴ میلی گرم بر لیتر نشان می دهند. همچنین، در این مطالعه چشمۀ آب گرم ایستی سو دارای محتوای بالایی از As و به مقدار ۶۳۲۰ میکرو گرم بر لیتر است، در حالی که سایر منابع آبی آرسنیک کمتری (کمتر از ۱۱/۲۷ میکرو گرم بر لیتر) را نشان می دهند (جدول ۲). قابل ذکر است که، مقادیر ذکر شده از عناصر بور و آرسنیک در ترکیب آب چشمۀ آبگرم ایستی سو، غلظت های بسیار بالاتری را از حد اکثر مقدار مجاز آب شرب (WHO 2011) که به ترتیب برابر با ۰/۵ میلی گرم بر لیتر برای عنصر بور و ۱۰ میکرو گرم بر لیتر برای آرسنیک است را نشان می دهد. نتایج نشان می دهد که آب های سرد منطقه حاوی مقادیر کمتری از Li و S است، ولی چشمۀ آبگرم ایستی سو دارای غلظت های بالاتری از این عناصر (به ترتیب

جدول ۲- نتایج غلظت عناصر اندازه گیری شده در منابع آب سطحی و زیرزمینی محدوده مورد مطالعه (بر حسب میلی گرم و میکرو گرم بر لیتر) و نیز غلظت های مجاز آب شرب (WHO, 2011)

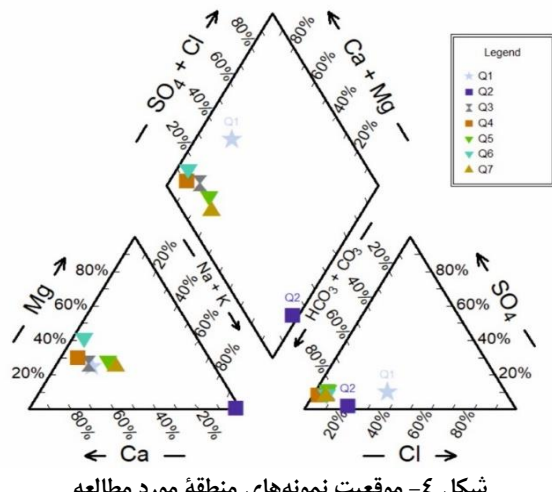
Table 2- The results of the concentration of elements measured in the surface and underground water sources of the study area (in terms of mg l⁻¹ and µg l⁻¹) as well as the permissible errors of drinking water (WHO, 2011)

W	Th	Ta	Sr	Si	Se	S	Rb	Nb	Li	Cs	B	As	شماره نمونه
<1	<0.1	<0.1	0.78	9.2	0.95	14.6	1.2	<0.1	0.02	<0.1	0.62	1.55	Q1
5600	5.38	0.67	3.34	31.5	3.35	56.9	51.35	10.11	26.25	89.5	644	6320	Q2
<1	<0.1	<0.1	0.32	9.2	0.51	9.3	1.58	<0.1	0.02	<0.1	2.46	1.35	Q3
16.48	<0.1	0.12	0.35	11.2	2.79	8.4	2.24	0.9	0.05	1.38	0.55	11.27	Q4
3.79	<0.1	<0.1	0.32	12	2.92	9.9	1.5	<0.1	0.02	0.32	1.84	2.86	Q5
<1	<0.1	<0.1	0.48	14.7	2.19	11.8	6.07	<0.1	0.06	0.12	<0.05	4.59	Q6
<1	<0.1	<0.1	0.21	12.1	1.02	7.2	1.1	<0.1	0.02	<0.1	0.27	3.41	Q7
-	-	-	7	-	10	-	-	-	-	-	0.5	10	WHO

غلظت عناصر B، Li، S، Se، Sr، Cs، Rb، Nb، Ta بر حسب میلی گرم بر لیتر و بقیه عناصر بر حسب میکرو گرم بر لیتر

ابزاری در جهت ردیابی ارتباط بین آب چشمۀ آبگرم ایستی سو (حاوی مقادیر بالایی از عناصر مذکور است) با سامانه های ماقمایی - گرمایی جوان موجود در منطقه باشد.

نتایج مقایسه مقادیر آئیون ها و کاتیون ها و عناصر کمیاب و سنگین شکل ۳ نشان داده شده است. نمودار ارتباطی منطقی بین تغییر غلظت در دو گروه (شامل چشمۀ آبگرم ایستی سو و سایر نمونه های آبی) را نشان می دهد. همچنین، بالا بودن مقادیر عناصری که در سامانه های ماقمایی به عنوان عناصر ناسازگار (عناصری که در هنگام تبلور ماقما معمولاً در مذاب باقی می ماند و وارد بلورهای تازه تشکیل شده نمی شود) شاخص شناخته می شوند (نظیر As، B، Cs، Rb، W، Li، Nb) و تمایل (Th) و Ta به تبلور ماقما می تواند به عنوان این عناصر به غنی شدگی در آب های گرمایی می تواند به عنوان



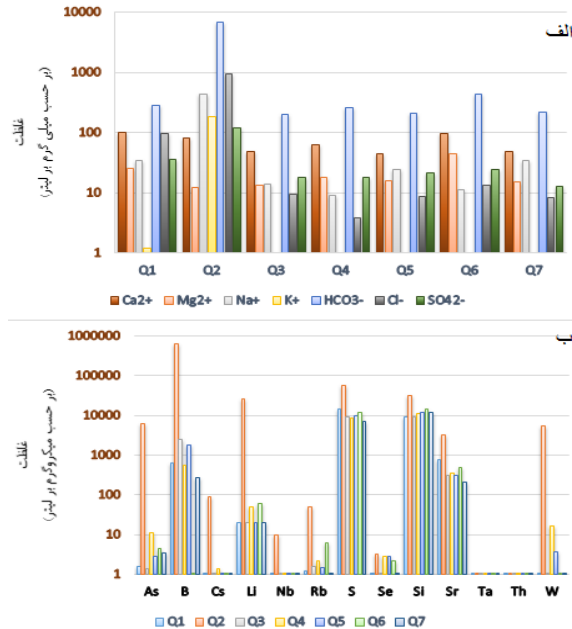
شکل ۴- موقعیت نمونه‌های منطقه مورد مطالعه

Figure 4- The location of the samples of the study area on the Piper diagram

به منظور تعیین منشأ آب زیرزمینی در منطقه مورد مطالعه از نمودار استیف استفاده شده است (شکل ۵). با توجه به این نمودار منشأ غالب آب در نمونه‌های Q1 (چشمۀ رostتای شریف‌آباد)، Q3 (آبراهه غرب رostتای آبگرم)، Q4 (چشمۀ رostتای زیندشت)، Q5 (چشمۀ رostتای آغلاغ)، Q6 (چشمۀ رostتای شورگل)، و Q7 (چاه رostتای بردیان) متاثر از واحدهای سنگی کربناته بوده‌اند. اتحال سنگ‌های کربناته و به خصوص آهکی می‌تواند باعث افزایش غلظت Ca^{2+} و HCO_3^{-} در آبها و در تماس با این سنگ‌ها شود. هم‌چنین، در نمونه Q2 (چشمۀ آبگرم ایستی‌سو) منشأ آب علاوه‌بر واحدهای سنگی در برگیرنده، احتمالاً ناشی از سیالات گرمابی نیز است. بخش عمده‌ی کربنات موجود در ترکیب آب چشمۀ آبگرم ایستی‌سو می‌تواند مربوط به CO_2 آزاد شده از فرآیندهای ماقمایی باشد. به طوری که برخی از مطالعات صورت گرفته در سایر مناطق نظری (Modabberi and Jahromi 2013؛ Yekta 2013) نیز این امر را تأیید می‌نمایند. سدیم نیز از غلظت بسیار بالایی (۴۳۶۸ میلی‌گرم بر لیتر) در چشمۀ آبگرم ایستی‌سو برخوردار است. سدیم یک سازنده اصلی در بیش‌تر سیالات گرمابی بوده و نیز از تجزیه پلاژیوکلاز سدیک در سنگ‌های آذرین و بر اساس واکنش زیر حاصل می‌شود (Pirajno, 2009):

- $1.5\text{NaAlSi}_3\text{O}_8(\text{albite}) + \text{H}^+ \rightarrow 0.5\text{NaAl}_3\text{Si}_3\text{O}_{10}(\text{OH})_2(\text{paragonite}) + \text{Na}^+ + 3\text{SiO}_2$
- $0.5\text{NaAl}_3\text{Si}_3\text{O}_{10}(\text{OH})_2(\text{paragonite}) + 3\text{SiO}_2 + \text{H}^+ \rightarrow 1.5\text{Al}_2\text{Si}_4\text{O}_{10}(\text{OH})_2(\text{pyrophyllite}) + \text{Na}^+$
- $1.5\text{NaAlSi}_3\text{O}_8(\text{albite}) + \text{H}^+ \rightarrow 0.5\text{Na}_{0.33}\text{Al}_{2.33}\text{Si}_{3.67}\text{O}_{10}(\text{OH})_2(\text{Na-montmorillonite}) + 1.67\text{SiO}_2 + \text{Na}^+$
- $3\text{Na}_{0.33}\text{Al}_{2.33}\text{Si}_{3.67}\text{O}_{10}(\text{OH})_2 + \text{H}^+ + 3.5\text{H}_2\text{O} \rightarrow 3.5\text{Al}_2\text{Si}_2\text{O}_5(\text{OH})_4 + 4\text{SiO}_2 + \text{Na}^+$

مطالعه واکنش‌های مذکور نشان می‌دهند که ناسازگاری عنصر سدیم در سامانه‌های ماقمایی و تمایل این عنصر برای



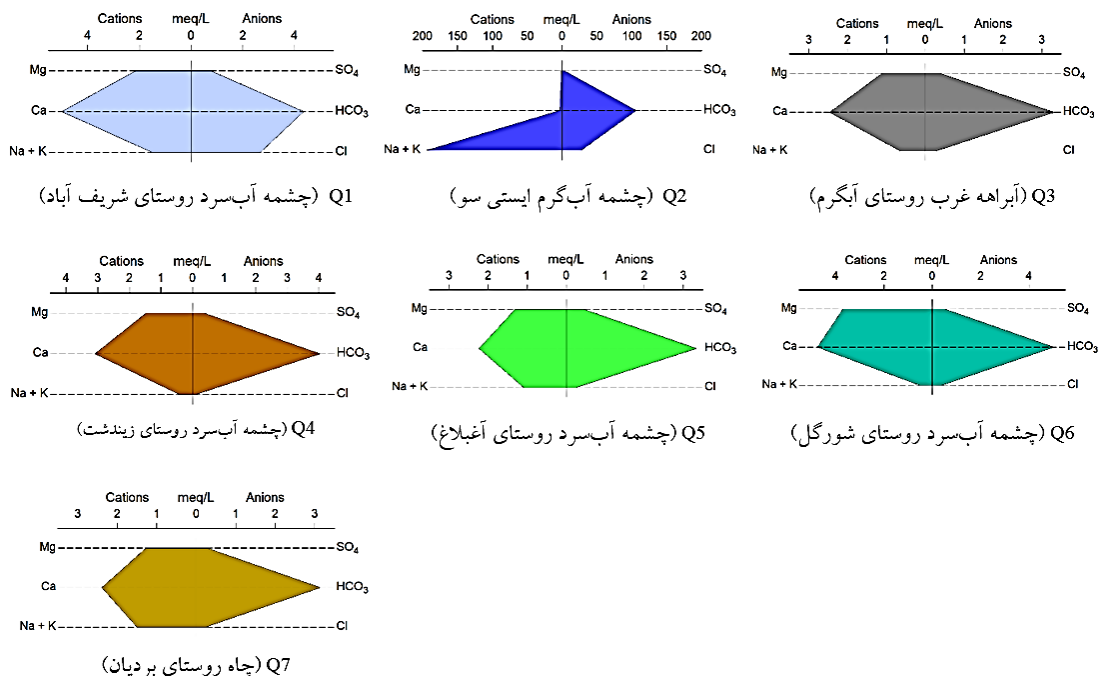
شکل ۳- نمودار مقایسه تغییرات (لگاریتمی) آئیون‌ها، کاتیون‌ها و عناصر سنگین در منابع آب منطقه مورد مطالعه

Figure 3- Comparison chart of changes in concentration (logarithmic) of anions, cations, and heavy elements in water resources of the studied area

۳-۲- بررسی‌های هیدروژئوشیمیایی
۳-۳- تیپ و منشأ آب‌های زیرزمینی منطقه مورد مطالعه
به منظور تعیین تیپ و وضعیت شیمیایی نمونه آب‌های منطقه مورد مطالعه از نمودار پاییر استفاده شد. نتایج نشان داد که در تمامی نمونه‌های آب سرد منطقه (شریف‌آباد، زیندشت، آغلاغ، شورگل و بردیان) عناصر قلیایی خاکی (Ca, Mg) بیش از قلیایی (Na, k) و اسیدهای ضعیف (HCO_3^- , CO_3^{2-}) بیش از اسیدهای قوی (Cl, SO_4^{2-}) بوده و سختی کربناته بیش از ۵۰ درصد است. در این آب‌ها آنیون غالب HCO_3^- و کاتیون غالب Ca است، در حالی که در چشمۀ آبگرم ایستی‌سو عناصر قلیایی (Na, k) بیش از قلیایی خاکی (Ca, Mg) و اسیدهای قوی (Cl, SO_4^{2-}) بیش از اسیدهای ضعیف (HCO_3^- , CO_3^{2-}) بوده و قلیایی کربناته بیش از ۵۰ درصد است. این آب دارای سختی خیلی کمی بوده و آنیون غالب HCO_3^- و کاتیون غالب Na است. بر این اساس و با توجه به نمودار شکل ۴ تیپ غالب آب‌های سرد بی‌کربناته کلسیک و آبگرم ایستی‌سو بی‌کربناته سدیک است.

ترکیب آب چشمۀ آبگرم ایستی سو است. منشأ کلر می‌تواند مربوط به انحلال سنگ‌های تبخیری نظیر گچ و نمک باشد. همچنین، در مناطق ژئوتermal به عقیده Pirajno (2009) مقادیر بالای کلر می‌تواند به جدایش آن از سامانهٔ ماگمایی-گرمابی مرتبط باشد.

افزوده شدن به بخش گرمابی و البته تشدید امکان رهاسازی آن از پلازیوکلاز سدیک در طی دگرسانی گرمابی را می‌توان از جمله دلایل اصلی غلظت بسیار بالای عنصر سدیم در چشمۀ آبگرم ایستی سو دانست. کلر (Cl) نیز یکی از آنیون‌های فراوان در



شکل ۵- نمودار استیف مربوط به نمونه‌های مختلف منطقهٔ مورد مطالعه
Figure 5- Stiff diagram related to different samples of the studied area

خارج از محدودهٔ نمودار قرار گرفته است. دلیل بالا بودن میزان سدیم و کل مواد جامد محلول در ترکیب آب این چشمۀ، علاوه بر تأثیر سنگ‌های دربرگیرنده، نشان‌دهندهٔ نقش سیالات گرمابی ناشی از فعالیت‌های هیدروترمال در منطقه است. واکنش بین آب و سنگ و تأثیر لیتوولوژی بر هیدروشیمی آب چشمۀ‌ها می‌تواند از طریق محاسبۀ شاخص اشباعیت نسبت به کانی‌های مختلف انجام شود. شاخص اشباع (SI) از رابطه (۱) محاسبه می‌شود. در رابطهٔ زیر IAP محصول فعالیت یونی و K_T ثابت تعادل ترمودینامیکی کانی در دمای آب را نشان می‌دهد.

$$SI = (\log \frac{IAP}{K_T}) \quad (1)$$

در این مطالعه به منظور بررسی انحلال کانی‌های آرگونیت، کلسیت، دولومیت، ژیپس، انیدریت و هالیت شاخص‌های اشباع‌شده (SI) این کانی‌ها محاسبه شد. در صورتی که اندیس اشباع (SI) کمتر از صفر باشد آب تحت اشباع، و در صورتی که SI برابر صفر باشد ماده و آب در تعادل با یکدیگرند. همچنین، اگر SI بیش از صفر و کمتر از یک باشد آب اشباع بوده و در صورت بالابودن SI بیش از یک آب فوق اشباع است (Deutsch

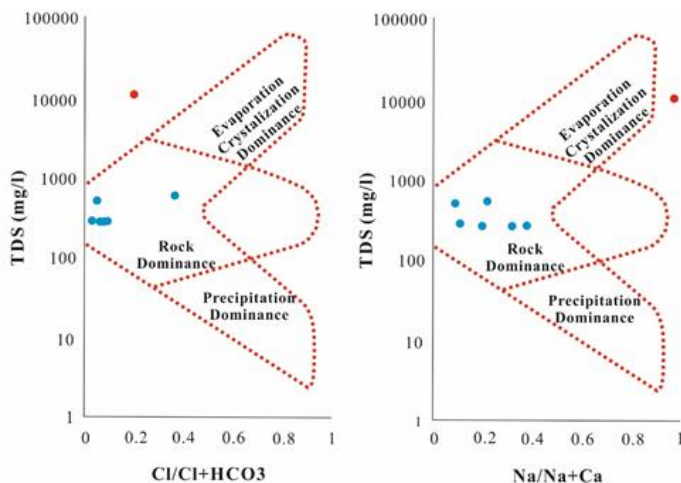
۳-۳- ارتباط متقابل بین آب‌های زیرزمینی و سنگ‌های دربرگیرنده

انحلال، و هوازدگی سنگ‌ها و کانی‌ها از عوامل مهم تأثیرگذار در میزان غلظت عناصر در ترکیب آب‌های در تماس با واحدهای سنگی است (Faryabi 2023; Yousefi Mobarhan et al., 2024). در این پژوهش به منظور بررسی تأثیر واحد سنگی بر غلظت عناصر در ترکیب آب چشمۀ‌ها و نیز جهت تعیین نقش سیالات گرمابی از نمودار گیس، شاخص اشباعیت نسبت به کانی‌ها و نمودارهای ترکیبی و همبستگی عناصر و نیز برخی از عناصر به عنوان شاخص استفاده شد.

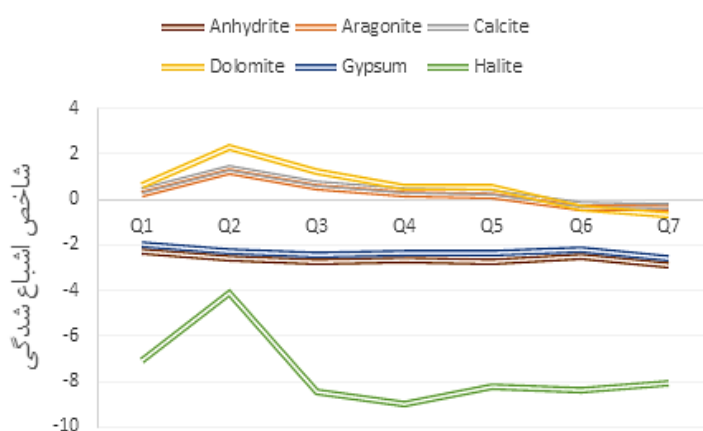
بررسی یون‌های اصلی موجود در ترکیب آب‌های زیرزمینی از طریق نمودار گیس می‌تواند به تعیین مکانیسم حاکم بر جریان آب زیرزمینی و تأثیر واحدهای سنگی دربرگیرنده کمک نماید (Subbarao, 2011). با توجه به این نمودار، آب‌های سرد منطقه مورد مطالعه (به رنگ آبی) در زونی که پدیده سنگی غالب است، واقع شده‌اند (شکل ۶). این امر نشان‌دهنده اثر متقابل بین سنگ و آب‌های نفوذی حاصل از بارش است. همچنین، در این نمودار چشمۀ آبگرم ایستی سو به دلیل مقادیر بالای TDS و نیز سدیم

دولومیت و آرگونیت) اشباع تا فوق اشباع بوده و نسبت به کانی‌های سولفاته (انیدریت، ژپس و هالیت) حالت تحت اشباعیت از خود نشان می‌دهند. همچنین، با توجه به این نمودار، شاخص اشباعیت در نمونه‌های Q6 (چشمۀ روستای شورگل) و Q7 (چاه روستای بردیان) نسبت به تمامی کانی‌های کربناته و سولفاته منفی بوده و حالت تحت اشباع از خود نشان می‌دهند.

(and Siegel, 1997). نتایج حاصل از محاسبۀ شاخص اشباعیت نسبت به کانی‌ها نشان می‌دهد که شاخص اشباعیت نسبت به کلسیت بین ۰/۲۶ تا ۱/۳۶ -۰/۰ تا ۱/۲۱، آرگونیت ۰/۴ تا ۰/۶۶ -۰/۰ تا ۲/۲۷، ژپس ۰/۹۵ تا ۱/۹۵ -۰/۶۶ تا ۰/۲۷ و هالیت نیز بین ۰/۹۰ تا ۰/۱۲ -۰/۸۹ تا ۰/۲۸۹ و هالیت نیز بین ۰/۹۰ تا ۰/۱۲ -۰/۸۹ تا ۰/۲۸۹ تغییر می‌کند. همان‌گونه که در شکل ۷ نمایش داده است، نمونه‌های Q1، Q2، Q3، Q4 و Q5 نسبت به کانی‌های کربناته (کلسیت،



شکل ۶- موقعیت نمونه آب‌های منطقه مورد مطالعه روی نمودار گیبس
Figure 6- Location of water samples in the study area on the Gibbs diagram



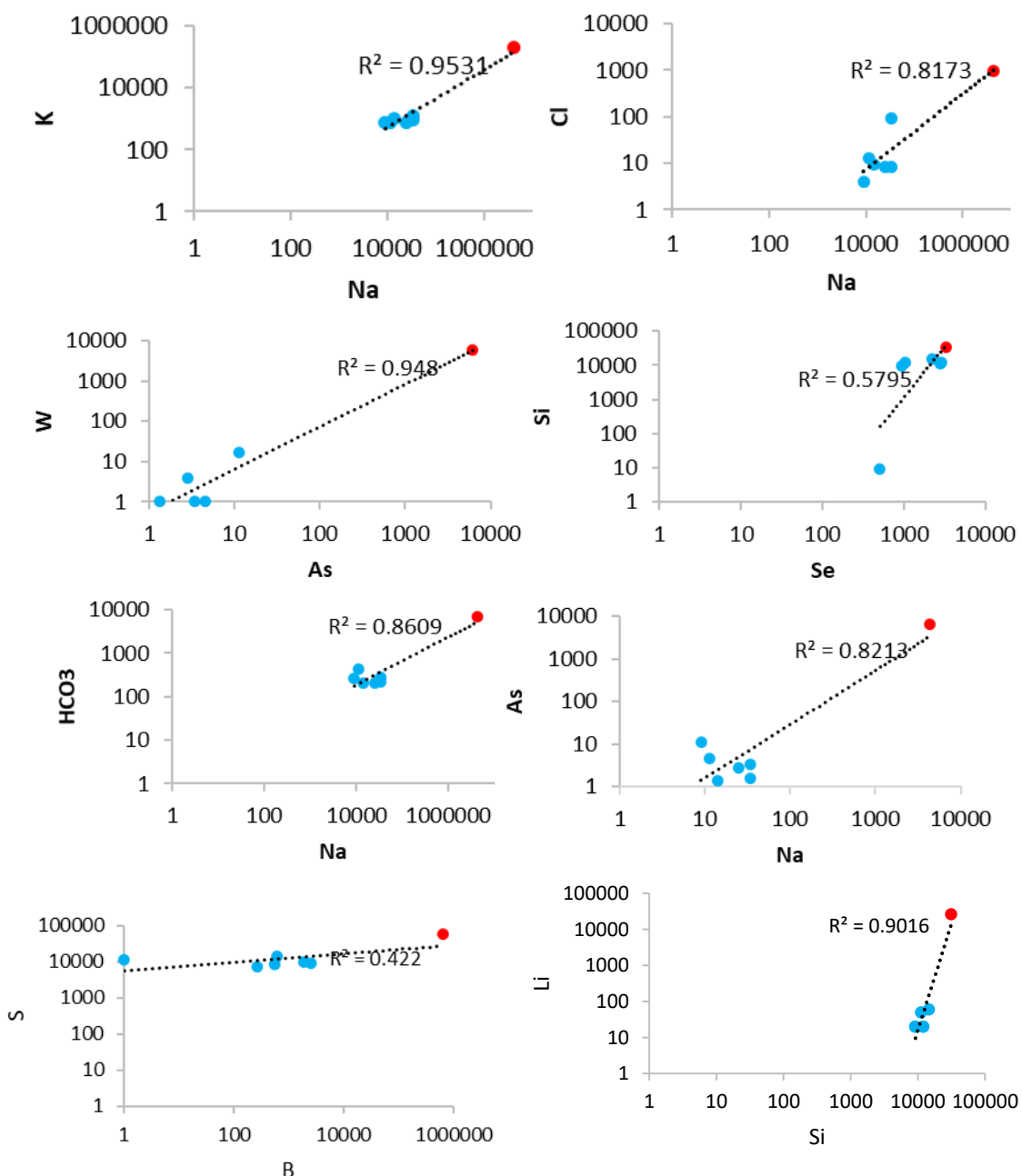
شکل ۷- نمودار شاخص اشباعیت نسبت به کانی‌های کربناته و سولفاته در منابع آب منطقه مورد مطالعه
Figure 7- Graph of the saturation index of the water samples of the studied area concerning carbonate and sulfate minerals

که $R^2 = 0/7$ نشان می‌دهند همبستگی قوی، $R^2 = 0/5$ همبستگی متوسط و $R^2 = 0/0$ همبستگی ضعیف در نظر گرفته می‌شوند (Oinam et al., 2012). موقعیت نمونه‌های مورد مطالعه در نمودار دومتغیره شکل ۸ نشان می‌دهد که نمونه آب مربوط به چشمۀ ایستی‌سو به دلیل بالا بودن تمامی یون‌ها و عناصر در ترکیب این آب نسبت به سایر نمونه‌ها مجزاست. از سوی دیگر با توجه به شکل ۸، جفت عناصر در نیز Si-Li و K-Na، W-As به

در این مطالعه بهمنظور بررسی همبستگی و تعیین منشاً عناصر از نمودارهای دومتغیره برای برخی از آنیون و کاتیون‌ها و عناصر استفاده شده است (شکل ۸). به طور کلی ضریب همبستگی (R²) بالا (نزدیک مثبت یک یا منفی یک) به معنی همبستگی خوب بین دو جفت متغیر است و مقادیر نزدیک به صفر بیان گر عدم ارتباط بین دو متغیر در یک سطح معنادار <0/5 است (Asghari Moghaddam and Barzegar, 2015).

در طی زمان است (Modabberi and Jahromi Yekta, 2013). همچنین، قابل ذکر است که جفت عناصر Sr-Si با $R^2 = 0.81$ همبستگی متوسط و جفت عناصر S-B نیز (با $R^2 = 0.422$) همبستگی ضعیفی را نشان می‌دهند.

ترتیب با $R^2=0.953$, $R^2=0.95$ و $R^2=0.9$, همبستگی بسیار قوی را با یکدیگر نشان می‌دهند. جفت ترکیبات دیگر از قبیل $R^2=0.86$ و $R^2=0.84$ نیز به ترتیب با $\text{HCO}_3\text{-Na}$, As-Na , Cl-Na و $R^2=0.82$ از همبستگی قوی برخوردار هستند، که این مقادیر و همبستگی آن‌ها شواهدی از بر هم کنش آب و سنگ



شکل ۸- نمودارهای دو متغیره و همبستگی عناصر مختلف در منابع آب محدوده جنوب شرق سلماس (بر حسب میکروگرم بر لیتر)
 Figure 8- Two-variable graphs and correlation of different elements in water resources of the south-east Selmas area (in $\mu\text{g L}^{-1}$)

آمفیبولیت و گنایس) بوده و این سنگ‌ها قابلیت ایجاد ناهنجاری در مقادیر عنصر بور را دارند (شکل ۲). به عنوان مثال، کانی $\text{NaFe}^{2+} \cdot 3\text{Al}_2(\text{BO}_3)_3 \cdot \text{Si}_2\text{O}_{18} \cdot (\text{OH})_4$ تومالن، با فرمای $\text{NaFe}^{2+} \cdot 3\text{Al}_2(\text{BO}_3)_3 \cdot \text{Si}_2\text{O}_{18} \cdot (\text{OH})_4$

منشأ غلظت بالای عنصر B در آب‌های سرد منطقه را می‌توان در ارتباط با عامل واحد سنگی دانست. به طوری که حجم عمده سنگ‌های منطقه از نوع دگرگون، (از خنس، شیست،

جدول‌های ۱ و ۲ که به احتمال زیاد توده و یا توده‌های ماقمایی که در اعماق زمین قرار دارند و نیز فعالیت‌های گرمابی وابسته به این توده‌ها، از جمله عواملی هستند که نقش اساسی را در ایجاد ناهنجاری عناصر یاد شده در این چشم‌بازی کرده‌اند. بر اساس مطالعات (Assadpour et al. 2017) سنگ‌های رسوبی و دگرگونی این محدوده به شدت تکتونیکی بوده و نیز کانی‌زایی عمدتاً در طول چهار منطقه برشی وجود دارد که در نتیجه این امر راه‌های خوبی برای گردش سیالات است. هم‌چنین، به عنفیده Vengosh et al. (2002) سامانه‌های ماقمایی قدیمی تر نسبت به جوان از بور تهی‌تر بوده و دارای مقادیر بور کمتری هستند. بر طبق این گفته شاید بتوان مقادیر بالاتر بور در چشممه آبگرم ایستی سو را به جوان‌تر بودن سامانه‌های ماقمایی نسبت داد. مطالعه انجام شده توسط Pashai Karagoz et al. (2017) روی چشممه‌های آبگرم هفت‌آباد (واقع در جنوب‌غرب ارومیه) نیز نشان داده است که محتوای بالای عناصری نظیر آرسنیک، بور و تنگستن و عدم ارتباط مستقیم غلظت عناصر مذکور با ترکیب واحدهای سنگی منطقه، و از طرفی وابستگی این عناصر به توده‌های آذرین می‌تواند نقش این توده‌ها و محلول‌های گرمابی وابسته به آن‌ها را در افزایش غلظت این عناصر برجسته کند.

چشممه‌های آبگرم حاوی مواد جامد محلول (TDS) هستند و ممکن است دارای عناصر سمی (نظیر آرسنیک، اورانیوم و سایر عناصر کمیاب دیگر) نیز باشند (Smedley and Kinniburgh, 2002; Zhang et al., 2008; Yoshizuka et al., 2010; Bundschuh et al., 2013). غلظت بور اندازه‌گیری شده در آبراهه شمال روستای آبگرم که حاصل ترکیب آبراهه غرب روستای آبگرم و آب چشممه آبگرم ایستی سو است برابر با ۱۵۳ میلی‌گرم بر لیتر بوده و با دبی حدود ۲۰ l/s سطح وسیعی از مناطق هم‌جوار و پایین دست را آلووده می‌کند. رهایی این آب‌ها به محیط اطراف نه تنها می‌تواند به بوم‌شناسی آبزیان ربط داشته باشد، بلکه پتانسیل بالای برای ایجاد یک وضعیت خطرناک برای سلامتی ساکنان محلی را ایجاد می‌کند.

۴- نتیجه‌گیری

نتایج حاصل نشان داد که تیپ غالب آبهای زیرزمینی منطقه مورد مطالعه، ۀ کلسیک و در چشممه آبگرم بی‌کربناته سدیک بوده و غلظت برخی از عناصر از قبیل As و B نسبت به آبهای معمولی بسیار بالا و بیش از حداکثر مقدار مجاز توصیه شده در استاندارد آب شرب است. بررسی‌های هیدرولوژیکی نشان می‌دهد که بالابودن HCO_3^- و Ca^{2+} به‌دلیل برهمنش بین آب‌سنگ و تعویض یونی بوده و به‌دلیل رهاسازی عنصر بور از ساختار کانی‌های تورمالین و میکائی موجود در

کانی‌های اصلی حامل بور محسوب می‌شود و کانی‌های بیوتیت و مسکوویت که به‌وفور در سنگ‌های میکاشیستی و گنایی منطقه یافت می‌شوند در اثر تماس و واکنش آب با این سنگ‌ها و نیز پتانسیل بالای این سنگ‌ها در ورود عنصر بور به منابع آب زیرزمینی را می‌توان به عنوان یکی از دلایل اصلی بالا بودن مقادیر بور در آبهای منطقه نسبت داد. مطالعه انجام شده توسط Ahangari (2017)، روی سنگ‌های گنایی منطقه (که در منطقه از حجم گسترده‌ای برخوردارند) نشان داده است که مقادیر کانی تورمالین در این سنگ‌ها بسیار بالاست. با این حال، در منطقه مورد مطالعه بیشترین غلظت بور مربوط به چشممه آبگرم ایستی سو با مقدار ۶۴۴ میلی‌گرم بر لیتر بوده مقایسه شود با حداکثر غلظت مجاز آب شرب (WHO 2011) که برابر با ۰/۵ میلی‌گرم بر لیتر است به احتمال زیاد حضور سنگ‌های دگرگونی و حضور توده‌های ماقمایی در اعماق زمین و به خصوص فعالیت‌های گرمابی وابسته به این توده‌ها، از جمله عواملی هستند که در ایجاد ناهنجاری عنصر بور در این چشممه نقش اساسی را ایفا می‌کنند. نتایج بررسی‌های صورت گرفته توسط Asadpour et al. (2016) در بالابودن غلظت عنصر B در چشممه آبگرم ایستی سو نیز حاکی از برهمنش آب و سنگ در شست و شوی فازهای کانایی ناپایدار حامل بور مانند مسکوویت، تورمالین، بیوتیت و هورنبلند موجود در سنگ‌های دگرگونی (نظیر گایاس و میکاشیست)، و نفوذ زبانه‌های ماقمایی حامل بور مرتبط با فعالیت‌های ماقمایی جوان است. مطالعات انجام شده توسط Pashai Karagoz et al. (2017) نیز نشان داده است. در اثر اختلاط آب با سیالات گرمابی مربوط به فعالیت‌های آتش‌شانی آرارات (در محدوده اطراف شهرستان‌های ماکو و پلدشت)، پتانسیل این ترکیبات در ورود عنصر B به منابع آب زیرزمینی بالا بوده و عامل اصلی در بالابودن عنصر بور در این آب‌ها را می‌توان به فعالیت‌های گرمابی وابسته به آتش‌شان آرارات و یا حضور محلول‌های گرمابی در طول گسل‌های مرتبط با این فعالیت آتش‌شانی نسبت داد.

نتایج تجزیه شیمیایی نمونه‌های آب برداشت شده نشان می‌دهد که غلظت‌ها و تغییرات عناصر As, Na, Li, K, Cs, Rb, Sr, Ta, Se, S, Nb, W در ترکیب آب نمونه‌های آب سرد زیاد نبوده (جدول‌های ۱ و ۲) در نتیجه می‌توان نقش و پتانسیل بسیار ناچیزی را برای ورود این عناصر از طریق واحدهای سنگی منطقه که عمدتاً دگرگونی هستند، در نظر گرفت. از طرفی دیگر، چشممه آبگرم ایستی سو (واقع در روستای آبگرم) علاوه‌بر عنصر بور، غلظت بالایی از سایر عناصر ذکر شده را حتی بعضاً در مقادیر خیلی بالاتر از حد استاندارد آب شرب سازمان بهداشت جهانی (WHO, 2011) نشان می‌دهد.

نرم افزاری/آماری؛ مرتضی درخشی؛ مشاوره، ویرایش و بازبینی متن مقاله، تجزیه‌های آماری.

منابع

- آهنگری، معصومه (۱۳۹۵). بررسی خاستگاه تورمالین و گارنت در میلیونیت گرانیت‌های غرب قوشچی- شمال غرب ایران؛ تعیین سنگ‌زایی سنگ اولیه. بلورشناسی و کانی‌شناسی / ایران، (۴) ۲۵، ۶۹۷-۷۱۰.
<http://ijcm.ir/article-1-989-fa.html>
- اسدپور، منیژه، عباس نوبن پور، اسفندیار، و نیکروز، رامین (۱۳۹۴). بررسی منشأ زمین‌شناسی آلدگی به عنصر بور در چشم‌های آب گرم ایستی‌سو، شمال ارومیه. علوم زمین، ۲۵(۱۰۰)، ۶۱-۶۴. doi:10.22071/gsj.2016.40688
- اصغری مقدم، اصغر، و بزرگر، رحیم (۱۳۹۲). بررسی عوامل موثر بر غلظت بالای آرسنیک در آب زیرزمینی آبخوان‌های دشت تبریز. علوم زمین، ۹۴(۲۴)، ۱۷۷-۱۹۰. doi:10.22071/gsj.2015.43280
- پاشائی قراگوز، توحید، درخشی، مرتضی، و آقازاده، نصرت (۱۳۹۷). بررسی تأثیر لیتولوژی بر غلظت عنصر بور (B) در منابع آب زون خوی-مهاباد و بخش غربی زون البرز-آذربایجان، پایان‌نامه کارشناسی ارشد، دانشگاه آزاد اسلامی واحد ارومیه. خدابنده، علی‌اکبر (۱۳۸۲). نقشه زمین‌شناسی ۱:۱۰۰۰۰۰ سلاماس. سازمان زمین‌شناسی و اکتشافات معدنی کشور.
- دهمری، رضا و امیری، فاضل. (۱۴۰۲). ارزیابی تاثیر تغییرات کاربری زمین بر کیفیت آب‌های زیرزمینی حوضه آبخیز دهرم در استان فارس. مدل‌سازی و مدیریت آب و خاک، ۱۳(۱)، ۱۱۰-۱۶۵. doi: 10.22098/mmws.2022.11367.1123
- فاریابی، محمد (۱۴۰۲). تعیین منشأ و مکانیزم شوری آب زیرزمینی یک منطقه نیمه‌خشک در جنوب شرق ایران با استفاده از مطالعات ژئوفیزیک و هیدروشیمی. مدل‌سازی و مدیریت آب و خاک، ۱۳(۲)، ۹۳-۱۱۱. doi: 10.22098/mmws.2022.11298.1119
- نبوی، محمدمحسن. (۱۳۵۵). دیاچه‌ای بر زمین‌شناسی ایران، سازمان زمین‌شناسی و اکتشافات معدنی کشور، ۹، ۰۹-۱۰۰. اص.
- یوسفی مبرهن، ابراهیم، کریمی سنگچینی، ابراهیم و لطفی‌نسب، سکینه (۱۴۰۳). بررسی زمانی و مکانی کیفیت آب زیرزمینی با تأکید بر مصارف صنعتی در حوزه آبریز سفیدرود. مدل‌سازی و مدیریت آب و خاک، ۱۳(۱)، ۱۱۹-۱۴۱. doi: 10.22098/mmws.2023.12220.1211

ترکیب سنگ‌های دگرگونی شیست، آمفیولیت و بهخصوص گایاس، غلظت آن در آب‌های منطقه افزایش یافته است. در چشم‌های آبگرم منطقه با تیپ $\text{Na}-\text{HCO}_3$ با غلظت سدیم بالا، بهدلیل عدم وجود سنگ‌های تبخیری منشأ یون Na نمی‌تواند فقط ناشی از تأثیر واحدهای سنگی منطقه باشد. بالابدن مقادیر عناصر K , Cs , B , As , W , Th , Ta , Sr , Si , Se , S , Rb , Nb , Na , Li همبستگی بین این عناصر در منابع آب زیرزمینی منطقه و نیز غلظت‌های بالای عناصر مذکور در چشم‌آبگرم ایستی‌سو نشان می‌دهد که واحدهای سنگی منطقه به تنهایی، از پتانسیل و قابلیت کافی در ایجاد ناهنجاری در مقادیر این عناصر در منابع آب زیرزمینی برخوردار نیستند. در محل چشم‌آبگرم ایستی‌سو بهدلیل حضور توده‌های گرم ماقمایی در اعمق، پتانسیل بسیار بالایی برای ورود برخی عناصر به منابع آبی دیده می‌شود. به طوری که بالابدن غلظت برخی از عناصر شاخص از قبیل As , B , W و Cl می‌تواند به جدایش آن‌ها از سامانظ ماقمایی و گرمایی مرتبط باشد که این امر منجر به ایجاد آلدگی گستردگی در آب‌های گرم و سطحی منطقه شده است.

سپاسگزاری

این پژوهش با حمایت شرکت آب و فاضلاب استان آذربایجان غربی انجام شده است که بر این اساس از مسئولین محترم این شرکت، بهخصوص از زحمات خانم دکتر حاجیلاری مدیر محترم دفتر کنترل کیفیت و بهداشت آب و فاضلاب، تقدیر و تشکر به عمل می‌آید.

تضاد منافع نویسندها

نویسندها این مقاله اعلام می‌دارند که هیچ‌گونه تضاد منافعی در خصوص نگارش و انتشار نتایج این پژوهش وجود ندارند.

دسترسی به داده‌ها

همه اطلاعات و نتایج در متن مقاله ارائه شده است.

مشارکت نویسندها

نصرت آقازاده: مفهوم‌سازی، کنترل نتایج، نگارش نسخه اولیه مقاله؛ توحید پاشایی قراگوز: روش‌شناسی و انجام تجزیه‌های

References

- Ahangari, M. (2017). Origin of tourmaline and garnet in west Qushchi mylonite granite (NW Iran); constrains on petrogenesis of parental rock. *Iranian Journal of Crystallography and Mineralogy*, 25(4), 697-710. <http://ijcm.ir/article-1-989-fa.html>. [In Persian]
- Alacali, M. (2018). Hydrogeochemical investigation of geothermal springs in Erzurum, East Anatolia (Turkey). *Environmental Earth Sciences*, 77, 802. doi:10.1007/s12665-018-7986-1
- Asadpour, M., Abbas Novinpour, E., & Nikrouz, R. (2016). The geological study of the origin of boron contamination in the Issiso springs, North of Urmia. *Scientific Quarterly Journal of Geosciences*, 100, 61-66. doi:10.22071/gsj.2016.40688. [In Persian]
- Asghari Moghaddam, A., & Barzegar, R. (2015). Considering factors affecting high arsenic concentration in groundwater resources of Tabriz Plain aquifers. *Scientific Quarterly Journal of Geosciences*, 24(94), 177-190 doi:10.22071/gsj.2015.43280. [In Persian]
- Assadpour, M., Heuss, S., & Jafari Bari, M. (2017). Boron contamination in the west of Lake Urmia, NW Iran, caused by hydrothermal activities. *Procedia Earth and Planetary Science*, 17, 554-557. doi:10.22071/gsj.2016.40688
- Bundschuh, J., Maity, J.P., Nath, B., Baba, A., Gunduz, O., Kulp, T.R., Jean, J., Kar, S., Yang, H.J., Tseng, Y., Bhattacharya, P., & Chen, C.Y., (2013). Naturally occurring arsenic in terrestrial geothermal systems of western Anatolia, Turkey: potential role in contamination of freshwater resources. *Hazardous Materials*, 262, 951-959. doi:10.22098/mmws.2022.11367.1123
- Dehrami, R., Amiri, F. (2023). Impact assessment of land-use changes on groundwater quality in Dahram watershed of Fars province. *Water and Soil Management and Modelling*, 3(1), pp. 165-80. doi:10.22098/mmws.2022.11367.1123. [In Persian]
- Deutsch, W.J., & Siegel, R. (1997). Groundwater geochemistry: Fundamentals and applications to contamination. CRC Press. doi:10.1201/9781003069942
- Durrast, H., & Ngansom, W. (2022). Integrated geophysical and geochemical investigations on the high-salinity geothermal waters of the khlong thom hot spring tourist attraction in Krabi, southern Thailand. *Geosciences Journal*, 26, 621-635. doi:10.1007/s12303-022-0007-0
- Dutta, A., & Gupta, R.K. (2022). Geochemistry and utilization of water from thermal springs of tawang and west kameng districts, arunachal pradesh. *Journal of the Geological Society of India*, 98, 237-244. doi:10.1007/s12594-022-1964-7
- Ebrahimi, D., No, J., & Dashti, A. (2019). Inspecting geothermal prospects in an integrated approach within the West Azarbaijan Province of Iran, *Geothermics*, 77, 224-235. doi:10.1016/j.geothermics.2018.09.007
- Ellis, A.J., & Mahon, W.A.J. (1977). Chemistry and Geothermal Systems. *Chemical Geology*, 25(3), 219-226. doi:10.1016/0009-2541(79)90143-8.
- Faryabi, M. (2023). Delineating the source and mechanism of groundwater salinization in a semi-arid region of southeastern Iran using geophysical and hydrochemical approaches. *Water and Soil Management and Modelling*, 3(2), 93-111. doi:10.22098/mmws.2022.11298.1119 [In Persian]
- Fournier, R.O. (1979). A revised equation for the na/k geothermometer, geothermal resources council. *Water Resource and Protection*, 3, 221-224. 1000361
- Fournier, R.O., & Truesdell, A.H. (1973). An empirical Na-K-Ca geothermometer for natural waters. *Geochimica et Cosmochimica Acta*, 37, 1255-1275. doi:10.1016/0016-7037(73)90060-4
- Furkan Sener, M. (2019). A new approach to Kırşehir (Turkey) geothermal waters using REY, major elements and isotope geochemistry. *Environmental Earth Sciences*, 78, 75. doi:10.1007/s12665-019-8068-8
- German, C.R., & Von Damm, K.L. (2003). Hydrothermal processes. *Treatise on Geochemistry*, 6, 181-221. doi:10.1016/B0-08-043751-6/06109-0.
- Giggenbach, W.F., Gonfiantini, R., Jangi, BL., & Truesdell, AH. (1983). Isotopic and chemical composition of Parbati valley geothermal discharges, NW-Himalaya, India. *Geothermics*, 12, 199-222.
- Hailu, H., & Haftu, S. (2023). Hydrogeochemical studies of groundwater in semi-arid areas of northern Ethiopia using geospatial methods

- and multivariate statistical analysis techniques. *Applied Water Science*, 13, 86. doi:10.1007/s13201-023-01890-w
- Khodabandeh, A. (2003). Geological map 1:100000 of Selmas, Organization of Geology and Mineral Exploration of the country. [In Persian]
- Mahon, W.A.J. (1970). Chemistry in the exploration and exploitation of hydrothermal systems. *Geothermics*, 2(2), 1310–1322. doi:10.1016/0375-6505(70)90449-9
- Modabberi, S., & Jahromi Yekta, S. (2013). Environmental geochemistry and sources of potentially toxic elements in thermal springs in the Sabalan volcanic field, NW Iran. *Environmental Earth Scince*, 71, 2821-2835. doi:10.1007/s12665-013-2660-0
- Nabavi, M.H. (1978). An introduction to the geology of Iran, Geologic Survey of Iran, Tehran, 109p. [In Persian]
- Oinam, J.D., Ramanathan, AL., & Gurmeet, S. (2012). Geochemical and statistical evaluation of groundwater in Imphaland Thoubal district of Manipur, India. *Journal of Asian Earth Sciences*, 48, 136-149. doi:10.1016/j.jseas.2011.11.017
- Pashai Karagoz, T., Derakhshi, M., & Aghazadeh, N. (2017). Investigating the effect of lithology on the concentration of boron element (B) in the water resources of Khoy-Mahabad zone and the western part of Alborz-Azerbaijan zone. Master's Thesis, Islamic Azad University, Urmia , Iran. [In Persian]
- Pirajno, F. (2009). Hydrothermal processes and mineral systems. Springer Science & Business Media.
- Rezaei, A., Javadi, H., Rezaeian, M., Barani, S. (2018). Heating mechanism of the Abgarm-Avaj geothermal system observed with hydrochemistry, geothermometry, and stable isotopes of thermal spring waters, Iran. *Environmental Earth Sciences*, 77, 635. doi:10.1007/s12665-018-7828-1
- Rezaei, A., Rezaeian, M., & Porkhial, S. (2019). The hydrogeochemistry and geothermometry of the thermal waters in the Mouil Graben, Sabalan volcano, NW Iran. *Geothermics*, 78, 9–27. doi:10.1016/j.geothermics.2018.11.006
- Smedley, P., & Kinniburgh, D. (2002). A review of the source, behaviour and distribution of arsenic in natural waters. *Applied Geochemistry*, 17, 517–568. doi:10.1016/S0883-2927(02)00018-5
- Subbarao, N. (2011). Geochemistry of groundwater in parts of guntur district, andhra pradesh, India. *Environmental Geology*, 41, 552-562. doi:10.1007/s002540100431
- Tang, J., Zhou, X., Zhang, Y., Tian, J., He, M., Li, J., Dong, J., Yucong, Y., Liu, F., Ouyang, S., & Liu, K. (2023). Hydrogeochemistry of fault-related hot springs in the Qaidam Basin, China. *Applied Sciences*, 13(3), 1415. doi:10.3390/app13031415
- Tonani, F. (1970). Geochemical methods of exploration for geothermal energy. *Geothermics*, 2(1), 492– 515. doi:10.1016/0375-6505(70)90049-0
- Utagi, U.N., & Purandara, B.K. (2023). Temp-spatial quality assessment of spring water using WQI and GIS modeling in Western Ghats region of India. *Innovative Infrastructure Solutions*, 8(11), 1-16. DOI:10.1007/s41062-023-01275-7
- Vengosh, A., Helvacı, C., & Karamanderesi, I.H. (2002). Geochemical constraints for the origin of thermal waters from western Turkey. *Applied Geochemistry*, 17, 163–183.
- Wang, Y., Gu, H., Li, D., Lyu, M., Lu, L., Zuo, Y. & Song, R. (2021). Hydrochemical characteristics and genesis analysis of geothermal fluid in the Zhaxikang geothermal field in County, southern Tibet. *Environmental Earth Sciences*. 80(11). doi:10.1007/s12665-021-09577-8
- White, D.E. (1970). Geochemistry applied to the discovery, evaluation, and exploration of geothermal energy resources. *Geothermics*, 2(1), 58–80. 1004712.
- WHO (2011) Guidelines for drinking-water quality, World Health Organization, 4th edition.
- Yazdi, M., Farajpour, G., Hasavand, M., & Navi, P. (2018). Hydrogeochemistry of Isti Su hot spring, Western Azerbaijan, Iran. *Carbonates and Evaporites*, 33, 861-867. doi:10.1007/s13146-018-0458-6
- Yazdi, M., Taheri, M., & Navi, P. (2015). Environmental geochemistry and sources of natural Arsenic in the Kharagan hot springs, Qazvin, Iran. *Environmental Earth Science*, 73, 5395–5404. doi:10.1007/s12665-014-3794-4
- Yoshizuka, K., Nishihama, S., & Sato, H., (2010). Analytical survey of arsenic in geothermal

- waters from sites in Kyushu, Japan, and a method for removing arsenic using magnetite. *Environmental Geochemistry Health*, 32, 297-302. doi: 10.1007/s10653-010-9300-3
- Yousefi Mobarhan, E., Karimi Sangchini, E., & Lotfinasabasl, S. (2024). Temporal and spatial investigation of groundwater quality with emphasis on industrial uses in Sefid-Rud Basin. *Water and Soil Management and Modelling*, 4(1), 119-134. doi:10.22098/mmws.2023.12220.1211. [In Persian]
- Zhang, G., Liu, C., Liu, H., Jin, Z., Han, G., Li, L (2008). Geochemistry of the Rehai and Ruidian geothermal waters, Yunnan Province, China. *Geothermics*, 37, 73-83. doi:10.1016/j.geothermics.2007.09.002